

## ПИСЬМА В РЕДАКЦИЮ

УДК 535.37

ПРИМЕНЕНИЕ МЕТОДА МОДУЛЯЦИИ ПОЛЯРИЗАЦИИ  
ДЛЯ ИССЛЕДОВАНИЯ ФЛУОРЕСЦЕНЦИИ  
ИЗ ВЫСШИХ СИНГЛЕТНЫХ ВОЗБУЖДЕННЫХ  
ЭЛЕКТРОННЫХ СОСТОЯНИЙ

*В. Л. Ермолаев, И. П. Котляр, В. А. Любимцев и В. Г. Маслов*

В последние годы большой интерес исследователей привлекает флуоресценция органических молекул при переходе из высоких синглетных возбужденных состояний в основное [1-6], которая конкурирует с быстрой безызлучательной релаксацией ( $k_{\text{бр.}} \sim 10^{11} - 10^{13} \text{ с}^{-1}$ ) на нижний возбужденный синглетный (флуоресцентный) уровень. Прямые экспериментальные наблюдения такой флуоресценции из-за ее малого квантового выхода ( $q_{S_n \rightarrow S_0} \sim 10^{-3} - 10^{-5}$ ) сильно осложняются наложением обычной ( $S_1 \rightarrow S_0$ ) флуоресценции примесей, присутствующих в растворе. Обычно это препятствие обходят, используя метод ступенчатого лазерного возбуждения [7].

Однако в этом случае возникают трудности с определением величины абсолютного квантового выхода флуоресценции из высоких возбужденных состояний, так как для его оценки необходимы данные о сечении поглощения  $S_n \leftarrow S_1$ , временные характеристики возбуждающих импульсов лазера и корректный учет неоднородности распределения излучения в зоне возбуждения.

Благодаря малому времени затухания ( $\tau \sim 10^{-11} - 10^{-13} \text{ с}$ ) флуоресценция из высоких синглетных возбужденных состояний ( $S_n \rightarrow S_0$ ) заметно поляризована даже в растворителях с малой вязкостью [5], в то время как обычная флуоресценция исследуемого вещества и примесей ( $\tau \sim 10^{-6} - 10^{-9} \text{ с}$ ) будет в этих условиях полностью деполяризована из-за вращения молекул.

Мы предлагаем новый метод регистрации флуоресценции из высоких возбужденных состояний, использующий указанную разницу в степени поляризации ее и обычной флуоресценции. В нашем методе возбуждение раствора исследуемого соединения осуществлялось излучением с периодически меняющимся направлением поляризации, а наблюдение осуществлялось либо перпендикулярно излучению, либо через поляризатор. В этих условиях с той же частотой будет промодулирована только  $S_n \rightarrow S_0$ -флуоресценция, но не свечение примеси.

Схема установки, реализующей этот принцип, приведена на рис. 1. Стопа 3 используется для компенсации частичной поляризации света, выходящего из монохроматора 2. Частота вращения поляроида 4 была выбрана равной  $\sim 60$  об./с, что соответствует частоте модуляции сигнала  $\sim 120$  Гц.

Переменная составляющая сигнала, которая регистрируется в данной схеме, выражается следующим образом:

$$I_a^{\text{неп.}} = I_{\parallel} - I_{\perp} = P(I_{\parallel} + I_{\perp}) = PI,$$

где  $P$  — степень поляризации флуоресценции, а  $I = I_{\parallel} + I_{\perp}$ . Регистрация спектра люминесценции  $I^{\text{неп.}}(\lambda)$  осуществлялась путем сканирования монохроматора МДР-2 (7) по длинам волн. Полученные спектры исправлялись на спектральную чувствительность и на реабсорбцию [8].

Мы применили нашу методику для измерения спектров флуоресценции порфиринов в диметилформамиде при переходе из состояния  $S_2$ , т. е. зеркально симметричных полос Соре. Без особого труда удалось измерить спектр люми-

несценции  $S_2 \rightarrow S_0$  Zn-тетрабензопорфирина (Zn-ТБП) (рис. 2, кривая 1), квантовый выход которой составляет  $\sim 1.2 \cdot 10^{-3}$  [5]. Измеренный спектр находится в согласии с опубликованным ранее [3, 4]. Нам удалось также зареги-

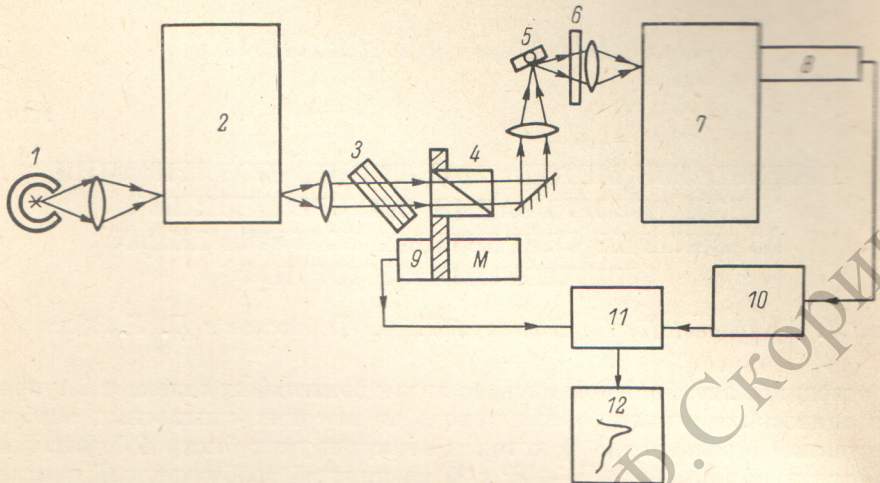


Рис. 1. Схема установки для исследования люминесцентным методом поляризованной модуляции возбуждающего света.

1 — источник света лампа ДКСШ-1000, 2 — монохроматор возбуждающего света (МДР-23), 3 — стопа из трех кварцевых пластин, 4 — вращающийся поляроид, 5 — образец, 6 — неподвижный поляроид с вертикальным направлением поляризации (его постановка необязательна), 7 — монохроматор МДР-2, 8 — ФЭУ-79, 9 — датчик опорного сигнала, 10 — узкополосный селективный усилитель У2-6, 11 — синхронный детектор В9-2, 12 — самописец КСП-4. М — мотор.

стрировать флуоресценцию  $S_2 \rightarrow S_0$  Zn-этапорфирина (Zn-ЭП) (рис. 2, кривая 1), которая в работе [6] обнаружена не была, несмотря на попытки ее за-

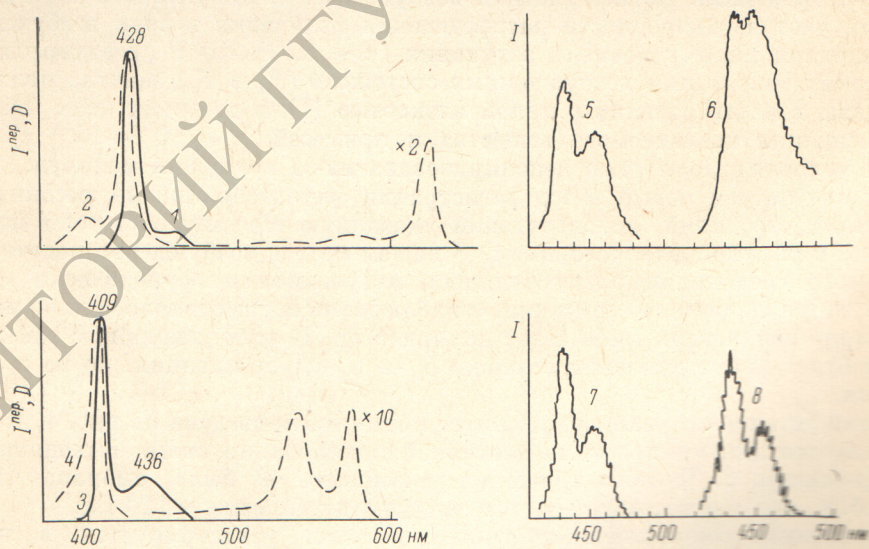


Рис. 2. Спектры диметилформамидных растворов при  $+20^\circ\text{C}$ .

1 — спектр люминесценции Zn-ТБП, полученный методом модуляции поляризации возбуждения ( $\lambda_{возб.} = 395$  нм), 2 — спектр поглощения того же раствора, 3 — спектр люминесценции Zn-ЭП, полученный методом модуляции поляризации возбуждения ( $\lambda_{возб.} = 387.5$  нм), 4 — спектр поглощения того же раствора, 5 и 6 — спектры люминесценции Zn-ТБП без добавок и с добавкой  $\sim 4 \cdot 10^{-5}$  М РОРОРа, соответственно зарегистрированные по постоянному току ( $\lambda_{возб.} = 395$  нм), 7 и 8 — спектры люминесценции Zn-ТБП без добавок и с добавкой  $\sim 4 \cdot 10^{-5}$  М РОРОРа, соответственно зарегистрированные методом модуляции поляризации возбуждения ( $\lambda_{возб.} = 395$  нм). Спектры 1 и 3 исправлены на спектральную чувствительность установки и реабсорбцию, а спектры 5—8 — не исправлены.

фиксировать. Квантовый выход этой флуоресценции, полученный нами путем использования люминесценции Zn-ТБП в качестве эталона, составил  $\sim 7.5 \cdot 10^{-5}$ . Возможность использования флуоресценции Zn-ТБП в качестве

эталона в данном случае обусловлена тем, что степень поляризации люминесценции  $S_2 \rightarrow S_0$  у обоих металлопорфиринов должна быть одной и той же независимо от длины волны возбуждения (1/7) вследствие вырожденного характера состояния  $S_2$  (симметрия  $D_{4h}$ ) [9].

Для проверки методики люминесценция Zn-ЭП была нами также измерена в экспериментах при двухступенчатом лазерном возбуждении. Для этого использовались импульсы второй (для заселения состояния  $S_1$ ) и первой гармоник (для заселения  $S_2$ ) неодимового лазера ЛТИПЧ-6 с плотностями  $\sim 2 \cdot 10^{26} \text{ см}^{-2} \times \text{с}^{-1}$  и  $\sim 10^{27} \text{ см}^{-2} \cdot \text{с}^{-1}$  соответственно. Излучение регистрировалось через двойной монохроматор ДМР-4 на ФЭУ-39 и далее на осциллографе С8-13.

В этих предварительных экспериментах зафиксирована вторая полоса люминесценции с максимумом у  $\sim 430$  нм, которая практически совпадает с измеренной нашим методом (рис. 2, кривая 3), в то время как первая была сильно искажена из-за реабсорбции.

Поскольку в предлагаемой нами схеме регистрации с модуляцией поляризации возбуждающего света обычная люминесценция  $S_1 \rightarrow S_0$ , например, при надлежащая примеси, не должна регистрироваться, представляет интерес продемонстрировать эту особенность метода путем добавления люминесцирующих добавок.

На рис. 2 (кривая 5) представлен спектр люминесценции Zn-ТБП, зарегистрированный обычным способом (по постоянному току). На рис. 2 (кривая 6) изображен спектр того же раствора, но с добавкой  $\sim 4 \cdot 10^{-5} \text{ M}$  РОРОРа. Как видно из сопоставления спектров, вклад люминесценции РОРОРа при данной концентрации и данных условиях возбуждения приблизительно равен вкладу люминесценции Zn-ТБП, в результате чего вид спектра при добавлении РОРОРа существенно меняется. В то же время при использовании регистрации с модуляцией поляризации возбуждающего света спектры люминесценции образцов без добавки и с добавкой мало отличаются друг от друга (сравните кривые 7 и 8 на рис. 2). Наличие значительной деполяризованной составляющей люминесценции проявляется в некотором увеличении уровня шумов.

#### Литература

- [1] М. Д. Галанин, З. А. Чижикова. Изв. АН СССР, сер. физич., 36, 941, 1972.
- [2] T. Gregory, F. Hirayama, S. Lipsky. J. Chem. Phys., 58, 4696, 1973.
- [3] L. Vajema, M. Gouberman. J. Molec. Spectr., 39, 421, 1971.
- [4] И. Е. Залесский, В. Н. Котло, А. Н. Севченко, К. Н. Соловьев, С. Ф. Шкирман. ДАН СССР, 210, 312, 1973.
- [5] И. Е. Залесский, В. Н. Котло, А. Н. Севченко, К. Н. Соловьев, С. Ф. Шкирман. ДАН СССР, 218, 324, 1974.
- [6] В. Н. Котло, К. Н. Соловьев, С. Ф. Шкирман. Изв. АН СССР, сер. физич., 39, 1972, 1975.
- [7] М. Д. Галанин, З. А. Чижикова. Краткие сообщ. по физике, № 4, 35, 1971.
- [8] С. Паркер. Фотолюминесценция растворов, гл. 3. «Мир», М., 1972.
- [9] Г. П. Гуринович, А. Н. Севченко, К. Н. Соловьев. Спектроскопия хлорофилла и родственных соединений. «Наука и техника», Минск, 1968.

Поступило в Редакцию 23 июля 1981 г.

УДК 533.9

## НАБЛЮДЕНИЕ ИЗМЕНЕНИЯ КОНЦЕНТРАЦИИ АТОМОВ В ПЛАЗМЕ ПРИ МАГНИТНОМ РЕЗОНАНСЕ

С. П. Дмитриев и А. И. Окуневич

Обычно в опытах по оптической ориентации регистрируется изменение при магнитном резонансе ориентации ( $\varphi_0^1$ ) или выстраивании ( $\varphi_0^2$ ) парамагнитных атомов. Сигнал  $L$  оптического детектирования в общем случае зависит также и от концентрации ( $\varphi_0^0$ ) этих атомов. Так, например, если для детектирования используется неполяризованный свет, то